

УДК 677.025:539.3

**ТЕОРИЯ ДЕФОРМИРОВАНИЯ И РАСЧЕТ УПРУГИХ ПОСТОЯННЫХ МЕТАЛЛИЧЕСКОГО ТРИКОТАЖНОГО СЕТЕПОЛОТНА\***

*В. П. ЩЕРБАКОВ, В. А. ЗАВАРУЕВ, О. С. КОТОВИЧ*

(Московский государственный текстильный университет им. А. Н. Косыгина)

В качестве примера применения изложенной теории двухосного растяжения рассмотрим нагружение проволочной сетки размером 12×12 см<sup>2</sup> "мертвым" грузом 46 сН как в направлении петельных столбиков, так и петельных рядов.

Экспериментальные значения деформации вдоль столбиков (по вертикали) составили  $\epsilon_b = 0,027$ , вдоль рядов (по горизонтали) -  $\epsilon_r = 16,1$ . Сетеполотно образовано на основовязальной машине переплетением атлас - атлас из нитей, каждая из которых состоит из трех вольфрамовых проволок.

Увеличенная фотография образца дана на рис. 1 из [1]. Угол  $\theta$  определен из формулы (6) из [1]:  $\sin \theta = \frac{1}{\frac{b}{R} - 1} = 0,506$ ;  $\theta =$

$= 0,53$  рад. Теперь по формуле (9) из [1] можно вычислить  $\beta$ :  $\beta = 10,094$ .

Найден из опыта модуль упругости одиночной проволоки; определены момент инерции поперечного сечения и жесткость одной проволоки при изгибе. Жесткость трех проволок равна сумме жесткостей каждой из них.

Эти формулы дают значения модулей упругости:

$$E_1 = 7,662 \frac{\text{сН}}{\text{мм}^2}; E_2 = 42,832 \frac{\text{сН}}{\text{мм}^2}.$$

В этих же условиях рассчитанные по формулам (19) и (20) из [1] коэффициенты Пуассона равны  $\nu_{21} = 2,364$ ,  $\nu_{12} = 0,423$ .

Здесь следует дать пояснение, относящееся к полученным величинам коэффициентов  $\nu_{21}$ ,  $\nu_{12}$  и решению в целом. Дело в том, что произведение  $\nu_{21} \nu_{12}$  равно единице. Если же решить первые два уравнения системы (4) из [1] относительно напряжений, то получим

$$\sigma_1 = \frac{E_1}{1 - \nu_{21}\nu_{12}} (\epsilon_1 + \nu_{21}\epsilon_2), \tag{1}$$

$$\sigma_2 = \frac{E_2}{1 - \nu_{21}\nu_{12}} (\epsilon_2 + \nu_{12}\epsilon_1).$$

При произвольных значениях деформаций  $\epsilon_1$ ,  $\epsilon_2$  напряжения  $\sigma_1$ ,  $\sigma_2$ , если  $\nu_{21}\nu_{12}=1$ , обращаются в бесконечность. Объяснение этому надо искать в принятой модели сетеполотна.

Рассматривая деформацию изгиба петли в ячейке [2...4], мы приняли проволоку нерастяжимой. В этом случае перемещение точки А обуславливается только изгибом. В действительности же возникает и дополнительное перемещение, вызванное растяжением проволоки, и это перемещение здесь не учтено. Разрывная деформация вольфрамовой нити составляет  $\epsilon = 0,016$ .

В условиях нагружения реальной конструкции антенны деформация нити намного меньше. Поэтому не следует ожидать большого влияния растяжения проволоки на общее перемещение петли при растяжении. Кроме того, и это можно было бы учесть, но расчетная схема не вполне

\* Окончание. Начало см. в №1, 2006 г.

адекватна реальной сетке, и бессмысленно уточнять решение при той модели, которая принята в качестве исходной.

Проверим соответствие изложенной теории экспериментальным данным, полученным при двухосном растяжении рассчитанного сетеполотна. Величины груза и соответствующие деформации приведены в начале данной статьи.

Вычислим деформации вдоль петельных столбиков  $\varepsilon_2$  и по линии петельных рядов  $\varepsilon_1$  по уравнениям (4) из [1]. Перейдем от сил к напряжениям:

$$\sigma_1 = \frac{P_1}{2bd \cos \alpha}, \quad (2)$$

$$\sigma_2 = \frac{P_2}{d(a + 2b \sin \alpha)}.$$

Учтем, что  $P_1$  и  $P_2$  являются силами, приходящимися на одну петлю по направлениям 1 и 2. Определив величину раппорта по горизонтали и вертикали, получим число петель, расположенных по направлению 2 (по вертикали) и по направлению 1 (по горизонтали).

Тогда единичные силы  $P_1$  и  $P_2$  принимают значения  $P_1 = 0,291$  сН;  $P_2 = 0,344$  сН. Вычисления по формулам (2) дают

$$\sigma_1 = 2,497 \frac{\text{сН}}{\text{мм}^2}; \quad \sigma_2 = 4,501 \frac{\text{сН}}{\text{мм}^2}.$$

Обращаясь к первым двум выражениям системы (4) из [1], находим искомые деформации:  $\varepsilon_1 = 0,136$ ;  $\varepsilon_2 = -0,058$ . Учитывая знак "минус" в формуле (12) из [1], деформацию в направлении 2 следует считать положительной. Экспериментальные данные, равные  $\varepsilon_{13} = 0,161$ ;  $\varepsilon_{23} = 0,027$ , не противоречат расчетным, а учитывая наличие многих рабочих допущений, принятых при построении модели сетки, их можно считать практически совпадающими.

Пятой упругой постоянной нашего ортотропного материала является модуль сдвига  $G$ . Образец подвергается сдвигу  $\gamma$  под действием касательных напряжений  $\tau$ . Деформирование элемента показано на рис. 1.

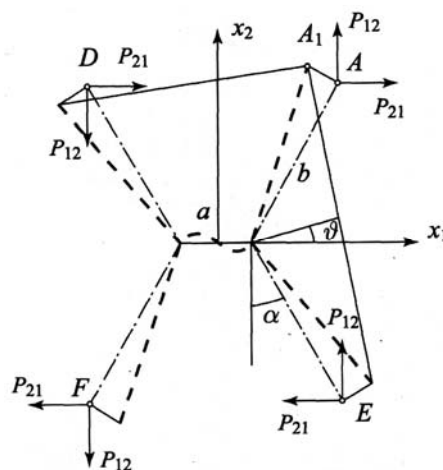


Рис. 1

На элементарную ячейку действуют силы  $P_{12}$  и  $P_{21}$ , которые определяются через касательные напряжения соотношениями

$$P_{12} = 2\tau b d \cos \alpha, \quad (3)$$

$$P_{21} = \tau d (a + 2b \sin \alpha).$$

Эти соотношения получены по аналогии с формулами (13) и (14) из [1] при тех же условиях: за толщину сетеполотна с учетом петель и протяжек принято два диаметра нити  $2d$ , протяженности  $l_1$  и  $l_2$  отрезков ячейки по осям  $x_1$  и  $x_2$  те же самые ( $l_1 = a/2 + b \sin \alpha$ ,  $l_2 = b \cos \alpha$ ). Схема расчета остается той же, что и для модулей упругости и коэффициентов Пуассона.

Определим перемещение точки А в направлении оси  $x_2$  для полупетли, показанной на рис. 1. Это перемещение складывается из изгибного перемещения, определяемого формулой (10) из [1]:

$$\delta = \frac{\beta Q R^3}{3EI},$$

и дополнительного перемещения, вызванного перекосом ячейки из-за деформирования горизонтального участка длиной  $a$ .

Дополнительное перемещение  $\delta_\theta$  определяется углом поворота  $\theta$  на конце горизонтального участка и равно  $\delta_\theta = \theta b$ .

Найдем угол  $\theta$ , рассматривая горизонтальный участок ячейки как двухопорную

балочку длиной  $a$ , изгибаемую на обоих шарнирно опертых концах балки моментами. Для симметричной балки рассматриваем одну ее половину.

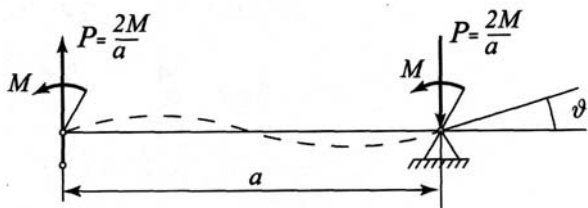


Рис. 2

Определяем реакции, возникающие в шарнире (рис. 2 – к расчету угла поворота), и составляем уравнение изгибающих моментов для участка балочки.

Дифференциальное уравнение упругой линии имеет вид

$$y'' = \frac{M}{EI} \left( \frac{2z}{\ell} - 1 \right). \quad (4)$$

Интегрируя (4), получаем уравнение углов наклона касательных к упругой линии:

$$y' = \frac{M}{EI} \left( \frac{2z^2}{2\ell} - z \right) + C. \quad (5)$$

Эти углы равны углам поворота соответствующих поперечных сечений. Интегрируя дважды выражение (4), получаем уравнение упругой линии:

$$y = \frac{M}{EI} \left( \frac{z^3}{3\ell} - \frac{z^2}{2} \right) + Cz + D. \quad (6)$$

Учитывая, что левый конец балочки шарнирно оперт, имеем  $D=0$ . Прогиб сечения в середине балочки при  $z = a/2$  равен нулю. Из этого условия получаем  $C = \frac{Ma}{6EI}$ .

Из (5) видно, что постоянная  $C$  представляет собой угол поворота сечения в начале координат, то есть  $\theta = \frac{Ma}{24EI}$ .

Число 24 явилось следствием того, что на горизонтальном участке расположены четыре проволоки (рис. 1 из [1]), а их жесткость вчетверо больше жесткости одной проволоки. Момент  $M=Q2b$ .

Теперь можно найти дополнительное перемещение:  $\delta_\theta = \frac{Mab}{24EI} = \frac{Qab^2}{12EI}$ .

Полное перемещение:

$$\begin{aligned} AA_1 &= \delta + \delta_\theta = \frac{\beta QR^3}{3EI} + \frac{Qab^2}{12EI} = \\ &= Q \frac{4\beta R^3 + ab^2}{12EI}. \end{aligned} \quad (7)$$

Угол сдвига для деформированной ячейки определяется как разность углов поворота отрезков  $AE$  и  $AD$  (рис. 1):

$$\gamma = \gamma_2 - \gamma_1 = \frac{AB_2}{\frac{a}{2} + b \sin \alpha} - \frac{AB_1}{b \cos \alpha}.$$

Из рис. 1 видно, что

$$\begin{aligned} (AA_1)_{x_2} &= AA_1 \sin \alpha, \\ (AA_1)_{x_1} &= AA_1 \cos \alpha. \end{aligned}$$

Тогда угол сдвига принимает значение

$$\gamma = -\frac{a}{(a + 2b \sin \alpha)b} AA_1.$$

С учетом (7) будем иметь:

$$\gamma = \frac{Q}{12EI} \frac{a(4\beta R^3 + ab^2)}{b(a + 2b \sin \alpha)}. \quad (8)$$

Силы  $P_{12}$  и  $P_{21}$ , действующие в точке  $A$  петли, как и ранее, приведем к поперечной силе  $Q$ , направленной перпендикулярно оси петли, которая ориентирована под углом  $\alpha$  относительно оси полотна  $x_2$ :

$$Q = P_{12} \sin \alpha - P_{21} \cos \alpha. \quad (9)$$

Силы  $P_{12}$  и  $P_{21}$  заменим касательными напряжениями в соответствии с выраже-

ниями (3). Таким образом, угол сдвига будет

$$\gamma = \tau \frac{1}{12EI} \frac{a^2 d (4\beta R^3 + ab^2) \cos \alpha}{b(a + 2b \sin \alpha)}. \quad (10)$$

Сопоставляя это выражение с третьим уравнением системы (4) из [1]  $\gamma = \frac{1}{G} \tau$ , описывающей ортотропную среду, напишем приведенный модуль сдвига в форме

$$G = 12EI \frac{b(a + 2b \sin \alpha)}{a^2 d (4\beta R^3 + ab^2) \cos \alpha}. \quad (11)$$

Численные значения величин, входящих в формулу (11), приведены в расчетах модулей упругости  $E_1$  и  $E_2$ .

Расчет модуля сдвига дает его значение:

$$G = 116,97 \frac{\text{сН}}{\text{мм}^2}.$$

Таким образом, рассчитаны упругие постоянные создаваемого проволочного сетеполотна. Конечно, определить модули упругости и коэффициенты Пуассона на

готовой сетке технически гораздо проще. Но если обратиться к структуре формул, то видно, что они включают основные характеристики проволоки (жесткость  $EI$ ) и параметры, определяющие структуру полотна (размеры петель, их ориентацию и взаимное расположение). Вследствие этого изложенная теория позволяет объяснить механизм явлений при деформировании и нагружении полотна и управлять процессом вязания для получения сетки с заданными свойствами.

#### ЛИТЕРАТУРА

1. Щербаков В.П., Заваруев В.А., Котович О.С. // Изв. вузов. Технология текстильной промышленности. – 2006, №1. С.74...79.
2. Малмейстер А.К., Тамуж В.П., Тетерс Г.А. Сопротивление жестких полимерных материалов. – Рига: Зинатне, 1967.
3. Hearle J. W. S., Grosberg P., Backer S. Structural Mechanics of Fibers, Yarns and Fabrics. – New York, 1969.
4. Феодосьев В.И. Избранные задачи и вопросы по сопротивлению материалов. – М.: Наука. 1996.

Рекомендована кафедрой механической технологии волокнистых материалов. Поступила 14.11.05.